

irseem

**UNIVERSITÉ
DE ROUEN**

Par Clément Letellier

Directeur de Thèse: Houcine Chafouk
Co-Directeur : Ghaleb Hoblos

Diagnostic Robuste des Systèmes Incertains

Application à un système mécatronique pour l'automobile

Université de Rouen

Institut de Recherche en Systèmes Électroniques EMbarqués
(IRSEEM) - EA 4353

Plan

1
Introduction

2
Analyse par intervalles

3
Diagnostic des systèmes incertains

4
Détection robuste des défauts

5
Systèmes multimodèles incertains

6
Application à l'automobile

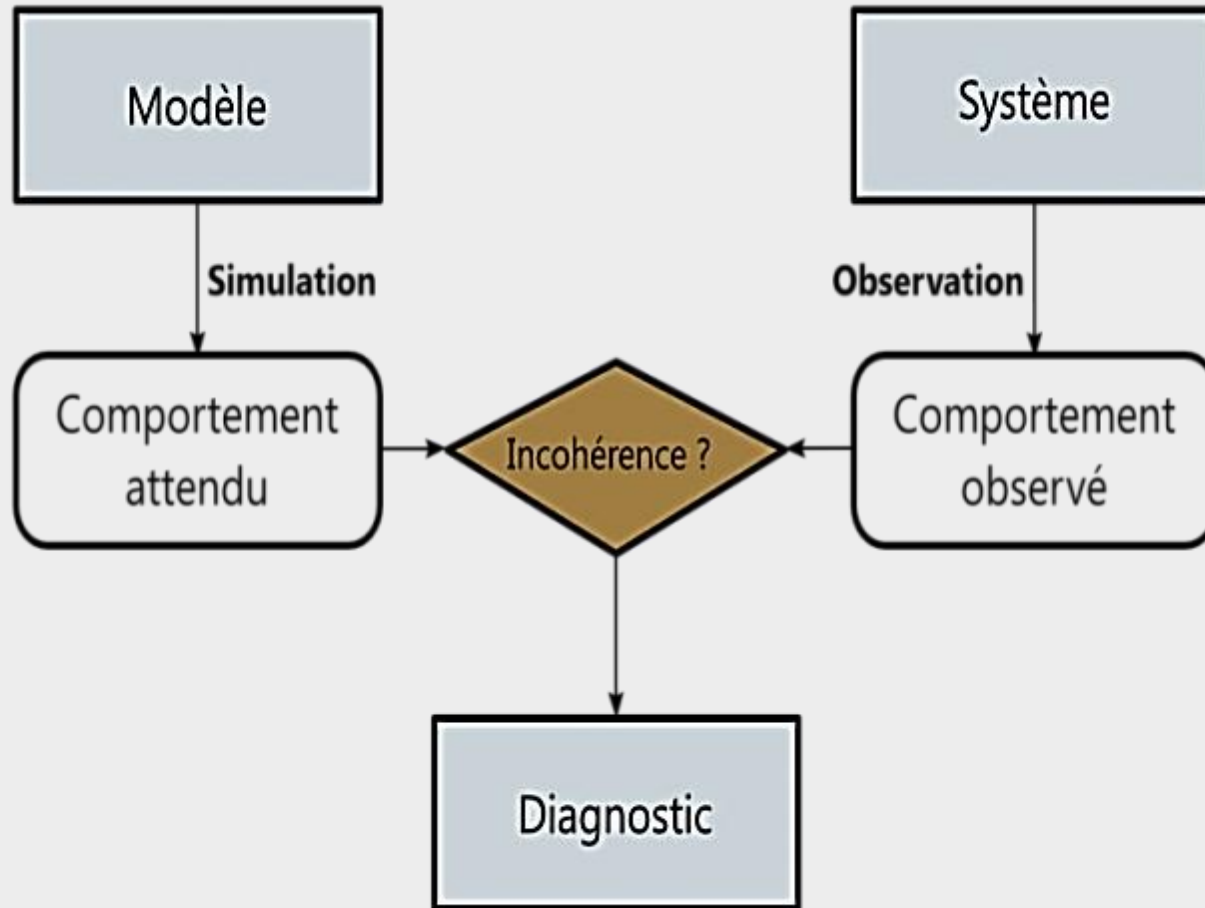
7
Conclusion & Perspectives



Diagnostic des défauts

Pourquoi le diagnostic ?

Diagnostic à base de modèle



Exemple: le vol AF447

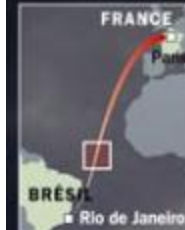


Vol AF447



Sondes pitots

Vol AF 447 : l'enchaînement des événements (heure française)



4 h 10

- Déconnexion du pilote automatique.
- Panne électrique des commandes de vol : alimentation de secours et détérioration des systèmes de contrôle de stabilité.

4 h 12

Panne de deux ordinateurs de bord indiquant l'altitude, la vitesse et la direction de vol.

4 h 13

Pannes électriques dans l'ordinateur principal et secondaire de vol.

4 h 14

Ultime message :
- cabine en vitesse verticale - indiquant que l'appareil est en chute libre.

4 h 00

Message du pilote signalant de **fortes turbulences** : cumulo-nimbus noirs chargés d'électricité et vents violents.



Vitesse de l'Airbus-erronée-

Satellites météo confirmant des vents à plus de 160 km/h.

Dans la zone, le vol 974 d'Air Comet Lima - Madrid aperçoit un intense éclat de lumière blanche sur une trajectoire descendante verticale.

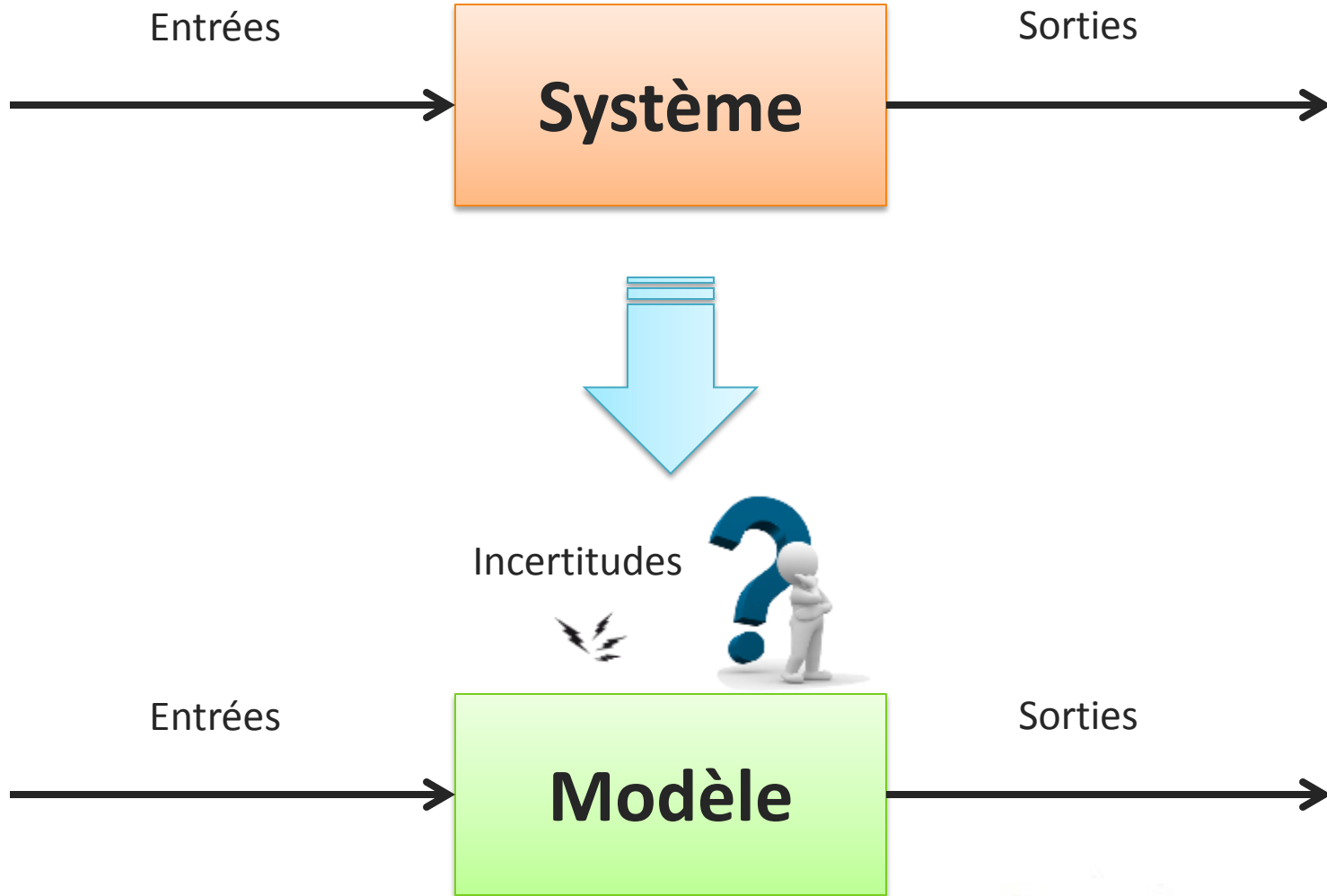
edf



Modéliser les incertitudes

Des intervalles pour quoi faire ?

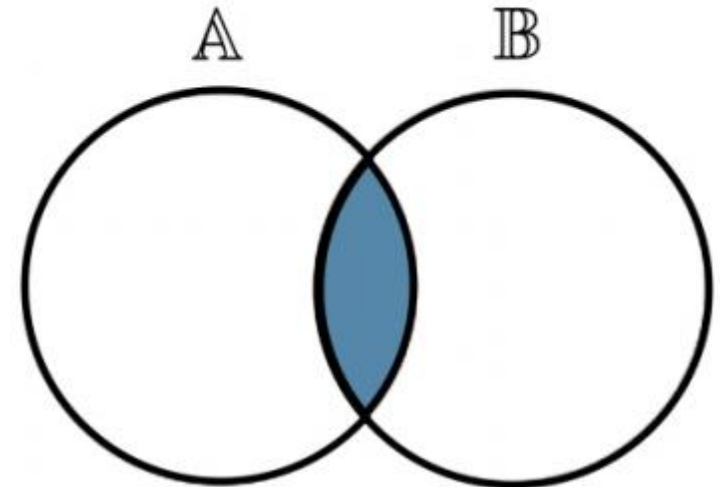
Modélisation: une étape délicate



Analyse par intervalles

- Un outil du calcul ensembliste

$$A \cap B = B \cap A$$

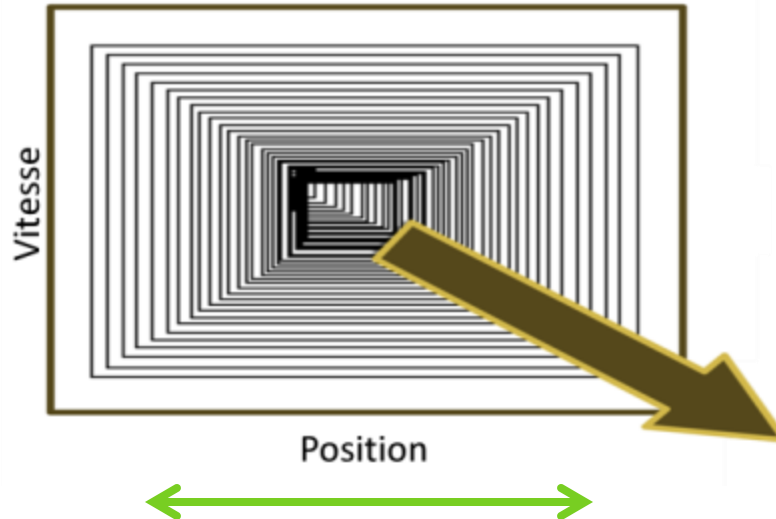


- Prend en compte toute la plage de variation des paramètres
- Augmente la robustesse des méthodes de diagnostic



Inconvénients: Pessimisme

- Effet d'enveloppement



- Effet de dépendance

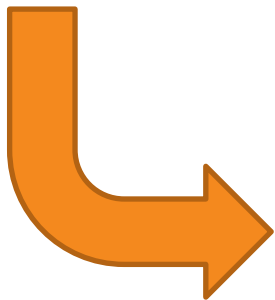
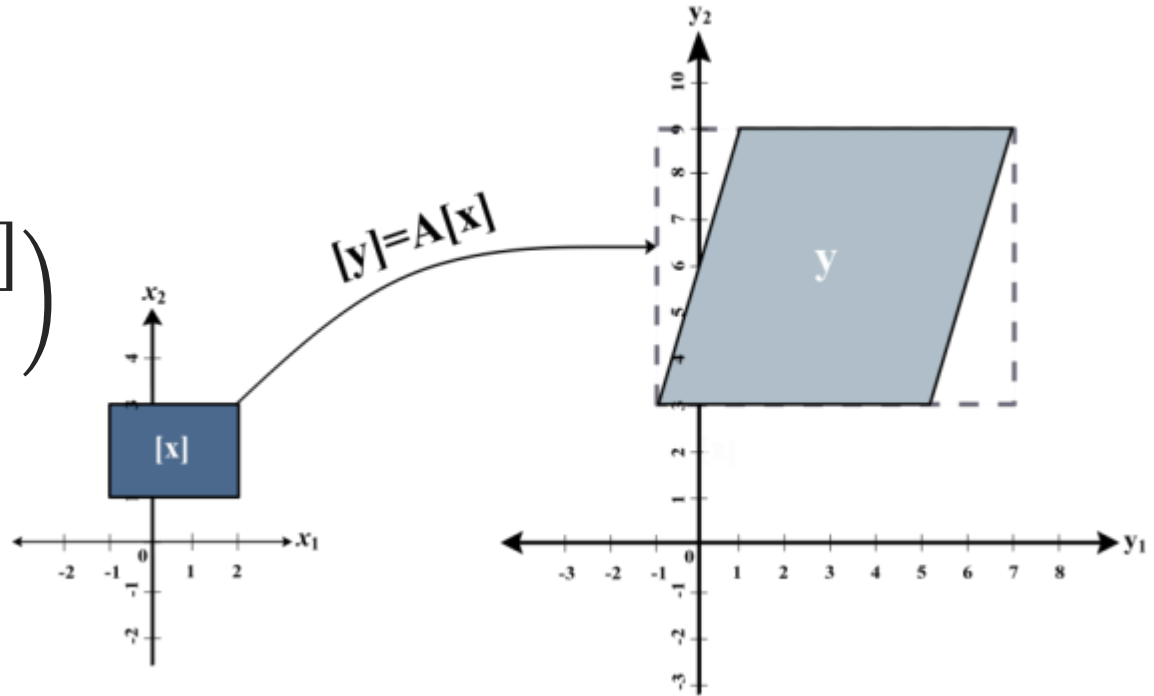
- Soit une résistance R variant entre 90 et 110 ohms

$$[R] - [R] = [90, 110] - [90, 110] = [-20, 20] \neq \{0\}$$

Inconvénients: Pessimisme

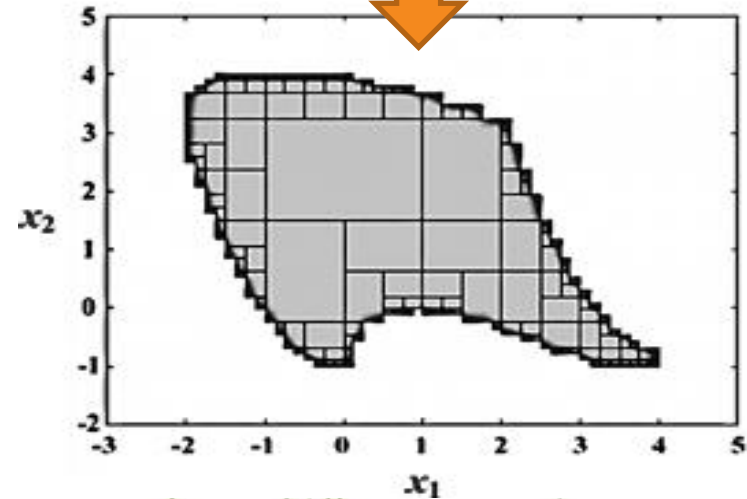
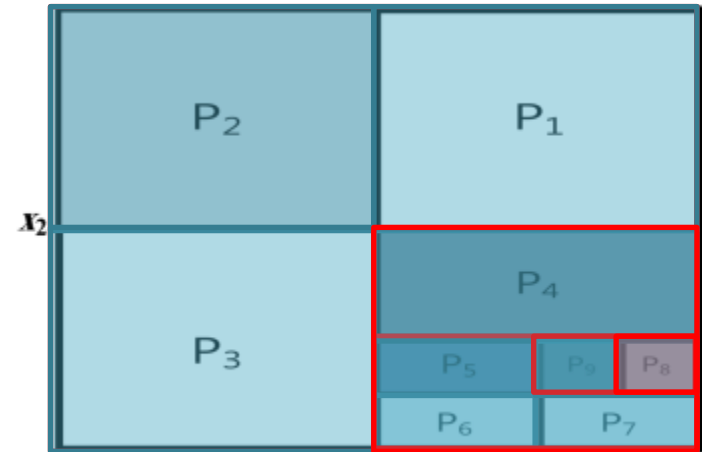
$$A = \begin{pmatrix} 2 & 1 \\ 0 & 3 \end{pmatrix}$$

$$[x] = \begin{pmatrix} [-1, 2] \\ [1, 3] \end{pmatrix}$$



$$[y] = A \times [x] = \begin{pmatrix} 2 & 1 \\ 0 & 3 \end{pmatrix} \begin{pmatrix} [-1, 2] \\ [1, 3] \end{pmatrix}$$

Partitionnement en sous pavés



Algorithme de sous-pavage

ImageSp

Calcul de l'image directe



L'incertain pour la robustesse

Comment un système incertain permet la robustesse ?

Estimation d'état par prédiction/correction

- Soit le système d'équations du système à temps discret suivant :

$$\begin{cases} x_{k+1} = g(x_k, u_k, \theta_k) + w_k \\ y_k = h(x_k, u_k, \theta_k) + v_k \end{cases}$$

- L'estimateur d'état par prédiction/correction est composé des étapes suivantes :

- Prédiction (Ensemble des états prédits)

$$\mathbb{X}_k^P = \{x_k = g(x_{k-1}, u_{k-1}, \theta_{k-1}) + w_{k-1} \mid x_{k-1} \in \mathbb{X}_{k-1}^C, \theta_{k-1} \in \Theta, w_{k-1} \in W\}$$

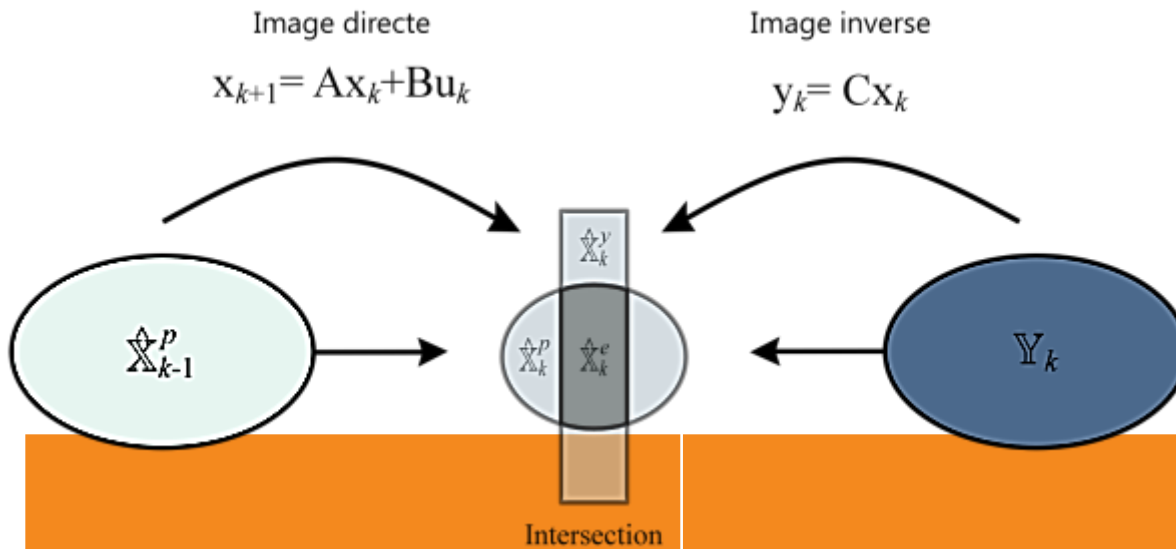
- Observation (Ensemble des états consistants)

$$\mathbb{X}_k^Y = \{x_k \mid \exists \theta_k \in \Theta, v_k \in V, y_k = h(x_k, u_k, \theta_k) + v_k\}$$

- Correction (Ensemble des états estimés)

$$\mathbb{X}_k^C = \mathbb{X}_k^P \cap \mathbb{X}_k^Y$$

Observateur par prédiction/correction



		Observateur d'état par prédiction/correction
	Reconstruction d'état	Non
	Banc d'observateurs	Non
	Effet d'enveloppement	Non
	Inversion ensembliste	Oui

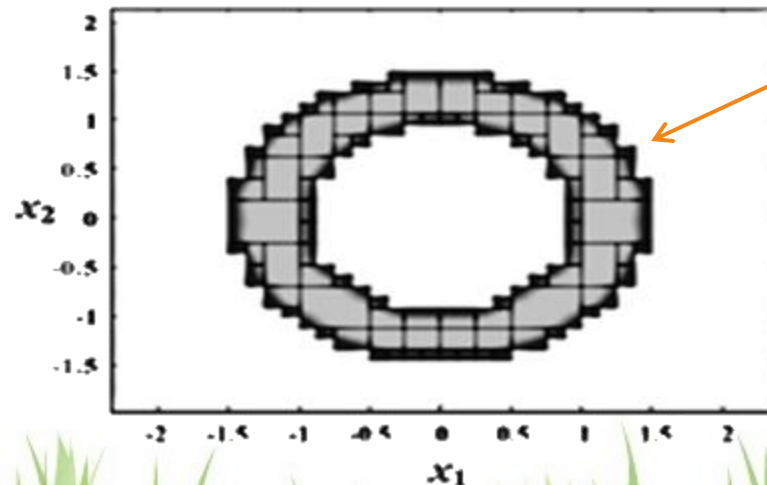
Problème d'inversion

- Inversion ensembliste

$$\mathbb{X}_k^y = \{x_k | \exists \theta_k \in \Theta, v_k \in V, y_k = h(x_k, u_k, \theta_k) + v_k\}$$

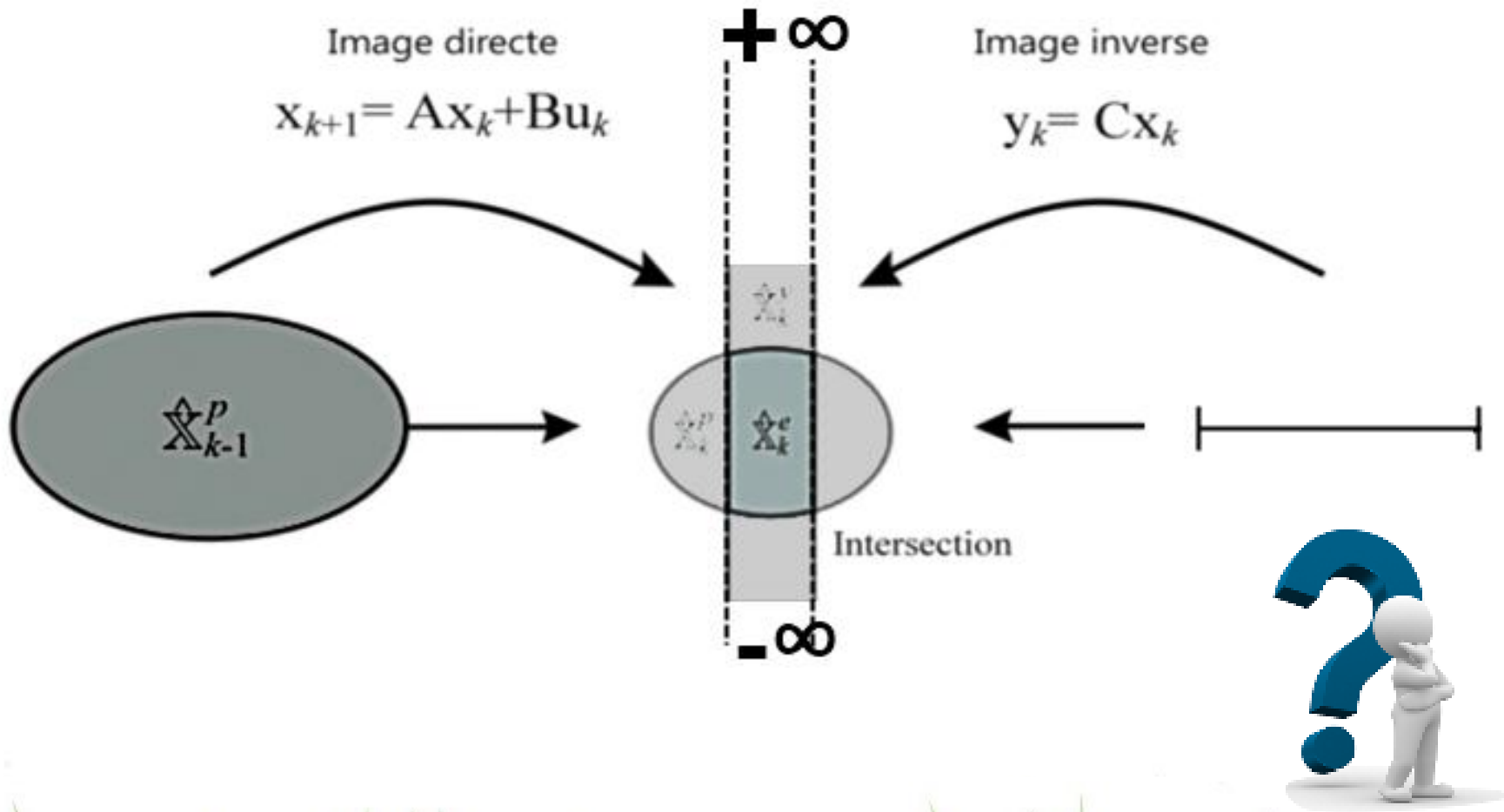
- Exemple :

- $f(x_1, x_2) = x_1^2 + x_2^2$ où $x = \{x_1, x_2\}$ et $y \in [1, 2]$



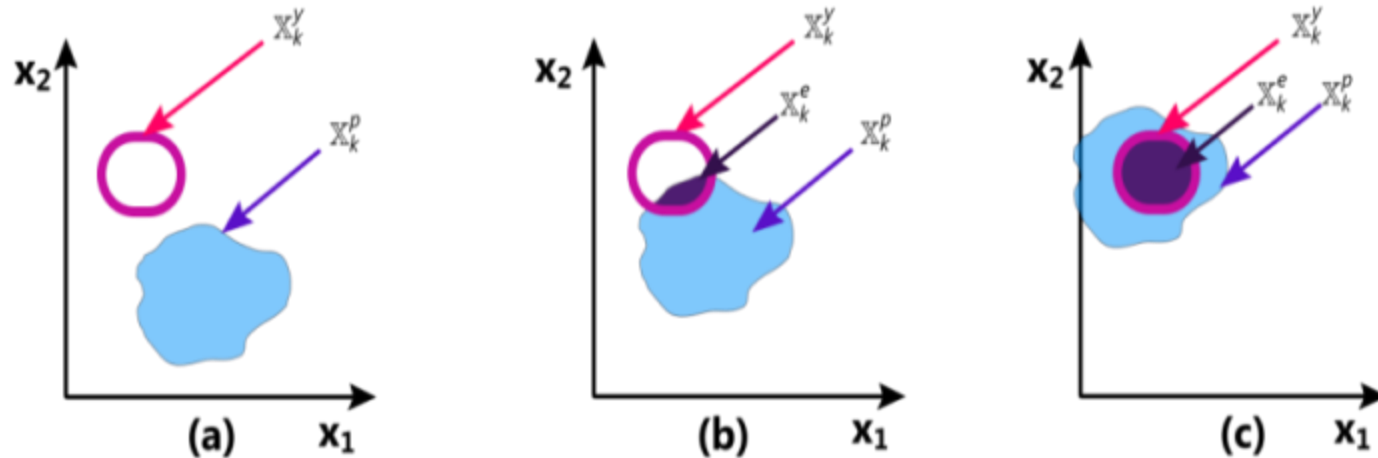
Méthode de sous-pavage
(Temps de calcul important)

Problème de reconstruction d'état



Estimation d'état par prédiction/correction

- Détection de défaut(s)

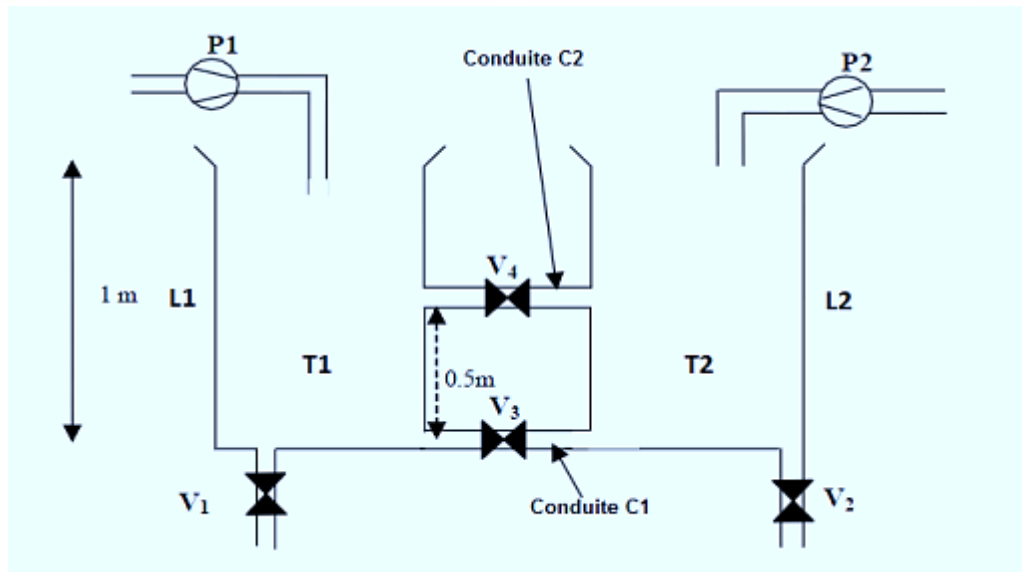


Tests de cohérence sur les variables externes

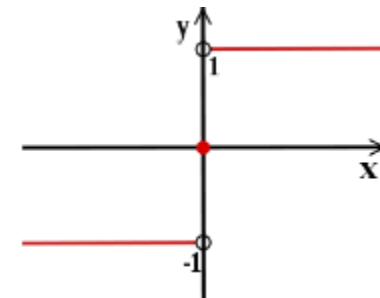
Défaut détecté

$$\text{si } \mathbb{X}_k^c = \mathbb{X}_k^p \cap \mathbb{X}_k^y = \emptyset$$

Exemple : Système à deux cuves



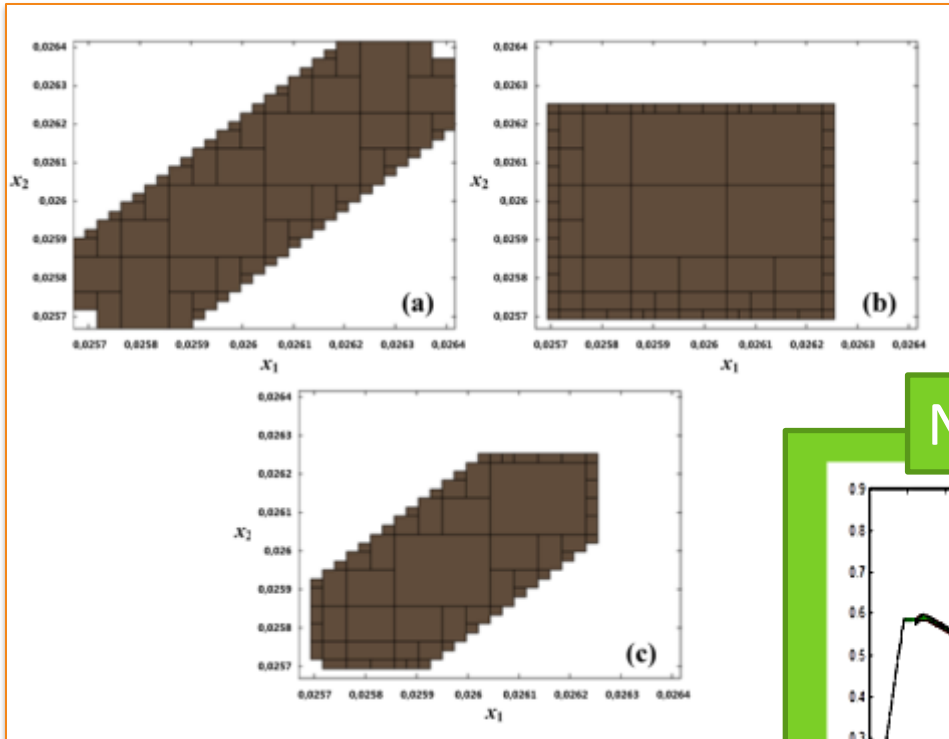
Les fonctions « sign » créent des non-linéarités



S : section des réservoirs
 D : débit des pompes
 g : accélération gravitationnelle
 A : section des conduites
 $\alpha_i = A\sqrt{2g}$ avec $i \in \{1,2,3,4\}$

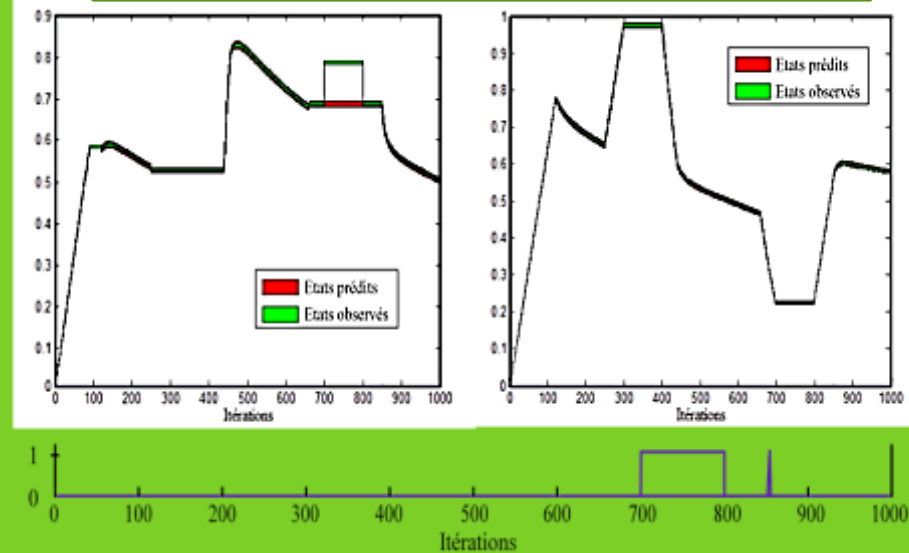
$$\begin{cases} \dot{x}_1 = \frac{1}{S} (D \cdot P_1 - \alpha_1 \cdot V_1 \sqrt{x_1} - \alpha_3 \cdot V_3 \cdot \text{sign}(x_1 - x_2) \sqrt{|x_1 - x_2|} \\ \quad - \alpha_4 \cdot V_4 \cdot \text{sign}(\max(x_1, 0.5) - \max(x_2, 0.5)) \cdot \\ \quad \sqrt{\max(x_1, 0.5) - \max(x_2, 0.5)}) \\ \dot{x}_2 = \frac{1}{S} (D \cdot P_2 - \alpha_2 \cdot V_2 \sqrt{x_2} + \alpha_3 \cdot V_3 \cdot \text{sign}(x_1 - x_2) \sqrt{|x_1 - x_2|} \\ \quad + \alpha_4 \cdot V_4 \cdot \text{sign}(\max(x_1, 0.5) - \max(x_2, 0.5)) \cdot \\ \quad \sqrt{\max(x_1, 0.5) - \max(x_2, 0.5)}) \end{cases}$$

Résultats de simulation



Incertitudes de modèle de 10%.
Incertitudes de mesure de 2%.
Défaut de type biais de 12%

Niveaux des cuves 1 et 2



Utilisation du sous-pavage pour
le système non-linéaire



Observateur de Luenberger Ensemble

Pourquoi un tel observateur ?

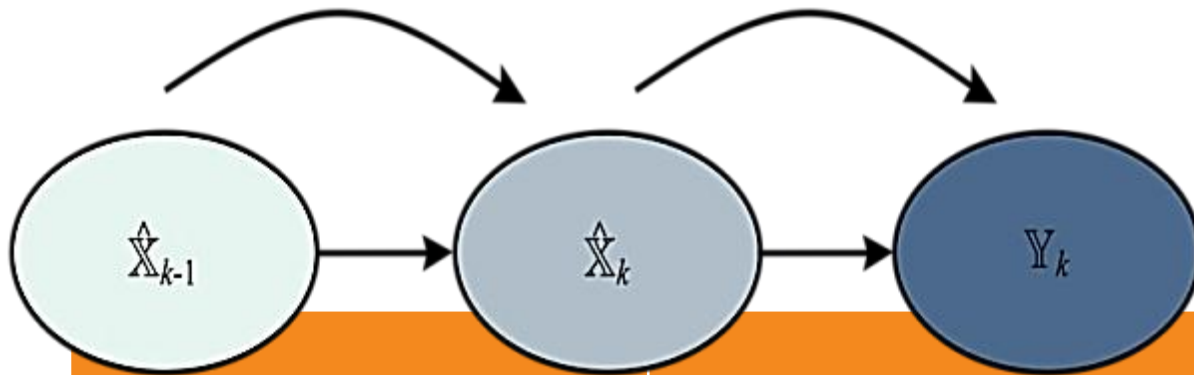
Observateur de Luenberger

Image directe

$$\hat{X}_{k+1} = A\hat{X}_k + Bu_k + L(y_k - \hat{y}_k) + w_k$$

Image directe

$$\hat{y}_k = C\hat{X}_k + v_k$$



		Observateur d'état par retour de sortie
	Reconstruction d'état	Oui
	Banc d'observateurs	Oui
	Effet d'enveloppement	Oui
	Inversion ensembliste	Non

Observateur de Luenberger Ensembliste

- Soit le système d'équations du système à temps discret suivant :

$$\begin{cases} x_{k+1} = g(x_k, u_k, \theta_k) + w_k \\ y_k = h(x_k, u_k, \theta_k) + v_k \end{cases}$$

- L'observateur d'état de Luenberger ensembliste est composé des étapes suivantes :
 - Prédiction (Ensemble des états prédits)

$$\mathbb{X}_k^p = \{x_k = g(x_{k-1}, u_{k-1}, \theta_{k-1}) + w_{k-1} \mid x_{k-1} \in \mathbb{X}_{k-1}^c, \theta_{k-1} \in \Theta, w_{k-1} \in W\}$$

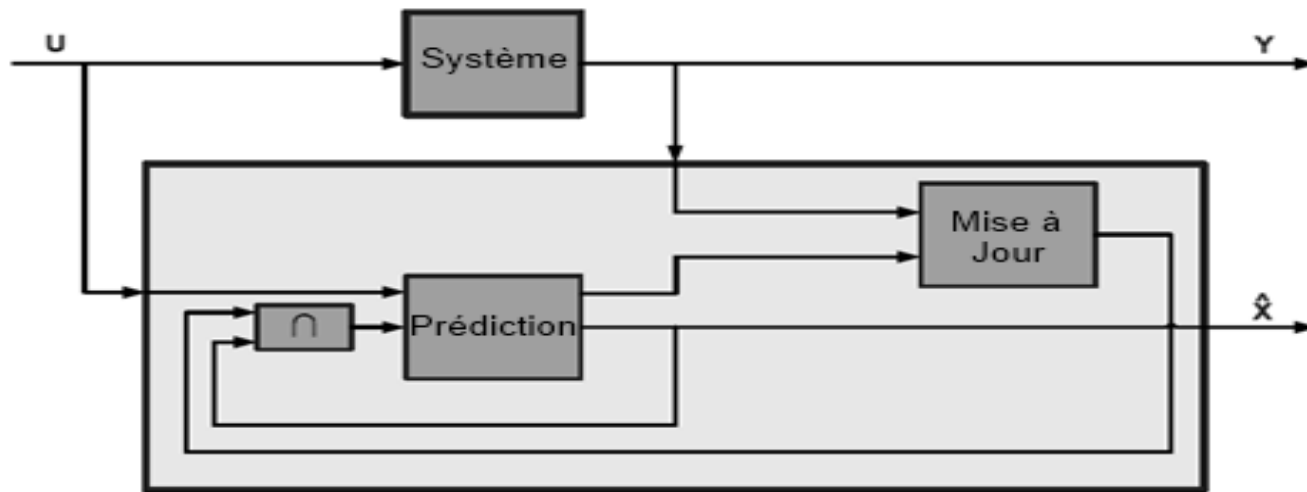
- Observation (Ensemble des états consistants)

$$\mathbb{X}_k^e = \{\hat{x}_k : \hat{x}_k(\theta) = x_k^p + L(y_k - C(\theta)x_k^p) + w_{k-1} \mid x_k^p = \text{mid}(\mathbb{X}_k^p), \theta \in \Theta, w_{k-1} \in W_{k-1}\}$$

Observateur de Luenberger Ensembliste

- Correction (Ensemble des états estimés)

$$\mathbb{X}_k = \mathbb{X}_k^p \cap \mathbb{X}_k^e$$



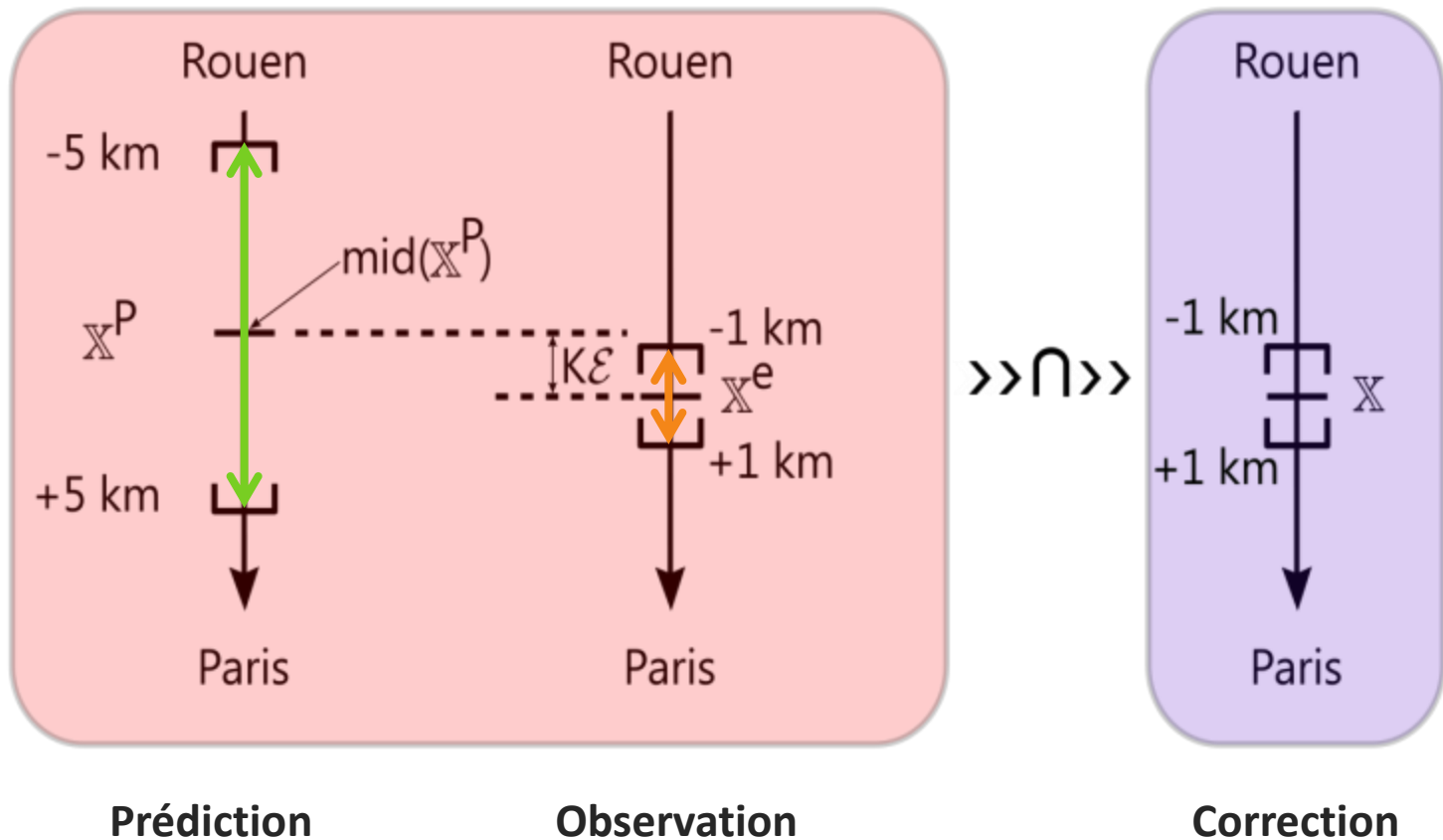
Observateur de Luenberger Ensembliste

- Détection de défaut

Défaut détecté

$$\text{si } \mathbb{Y}_k^p \cap \mathbb{Y}_k^m = \emptyset$$

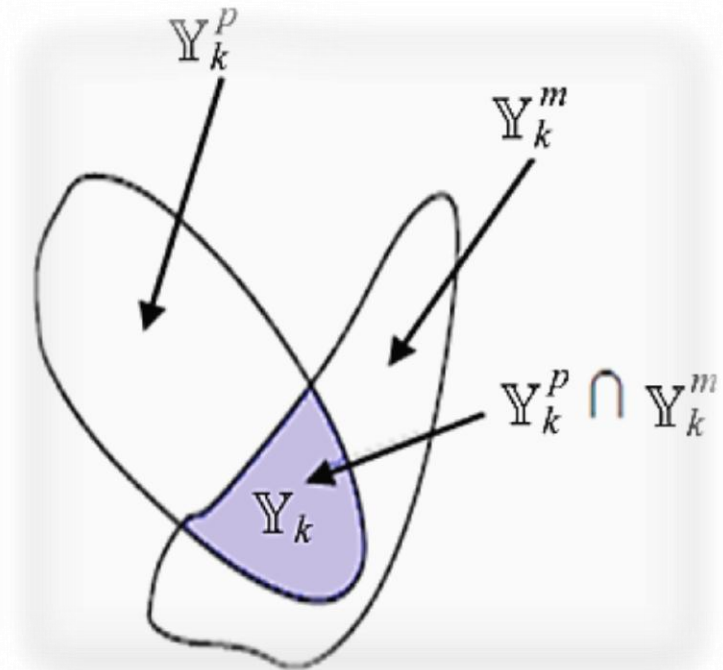
Principe de Fonctionnement



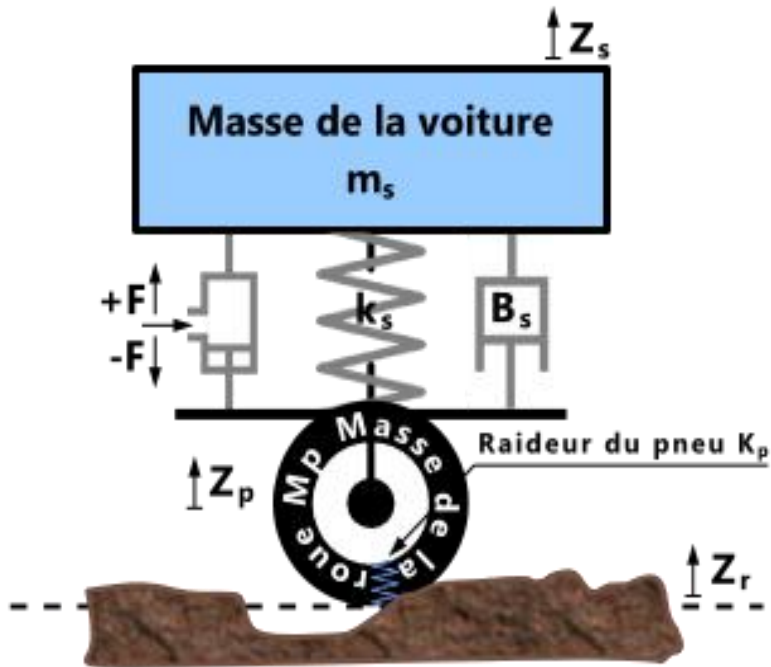
Algorithme de détection de défauts

Algorithme

1. $\mathbb{X}_k \leftarrow \mathbb{X}_0$
- Pour** $k = 1$ à N **faire**
2. Calculer \mathbb{Y}_k^m
3. Calculer \mathbb{X}_k^p
4. Calculer \mathbb{X}_k^e
- Si** $\mathbb{X}_k^p \cap \mathbb{X}_k^e \neq \emptyset$ **alors**
5. $\mathbb{X}_k \leftarrow \mathbb{X}_k^p \cap \mathbb{X}_k^e$
- Sinon**
6. $\mathbb{X}_k \leftarrow \text{mid}(\mathbb{X}_k^p)$
- Fin si**
7. Calculer $\mathbb{Y}_k^p = C\mathbb{X}_k^p$
- Si** $\mathbb{Y}_k^p \cap \mathbb{Y}_k^m = \emptyset$ **alors**
8. Défaut \leftarrow VRAI
- Fin si**
- Fin pour**



Application à un système de suspension active



$$\begin{cases} \dot{x}_1(t) = & x_2(t) \\ \dot{x}_2(t) = & -\frac{K_s}{m_s}x_1(t) - \frac{B_s}{m_s}x_2(t) + \frac{1}{m_s}u(t) \\ y(t) = & x_1(t) + w(t) \end{cases}$$

avec $x = (x_1 \quad x_2)^T = (p \quad v)^T$

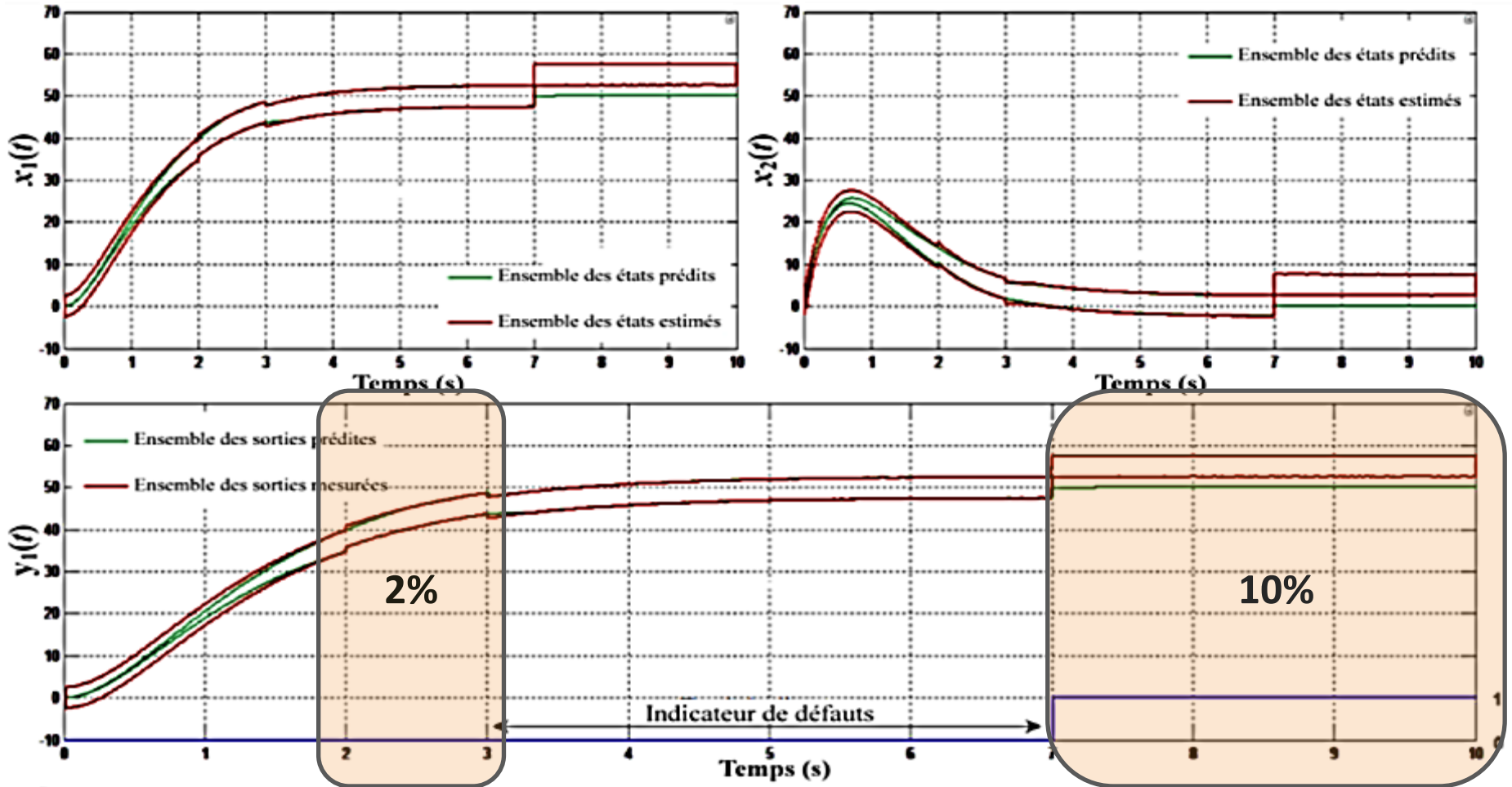


Deuxième loi de Newton

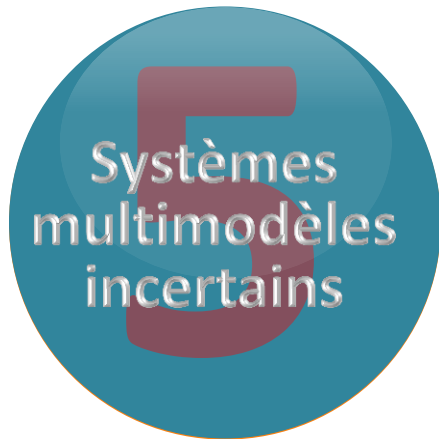
$$m_s \cdot \dot{v} = -K_s \cdot p - B_s \cdot v + F \Rightarrow \dot{v} = -\frac{K_s}{m_s} \cdot p - \frac{B_s}{m_s} \cdot v + \frac{1}{m_s} \cdot F$$

Résultats de simulation

Incertitudes de modèle de 2%. Incertitudes de mesure de 5%.



Détection de défauts de type biais du système de suspension active



Plusieurs modèles linéaires incertains

Comment gérer un modèle non-linéaire incertain ?

Multimodèle découplé

- Considérons les modèles locaux d'un multimodèle M définis par le système d'équations suivant :

$$\begin{cases} \dot{x}_i(t) = A_i x_i(t) + B_i u(t) \\ y_i(t) = C_i x_i(t) \end{cases}$$

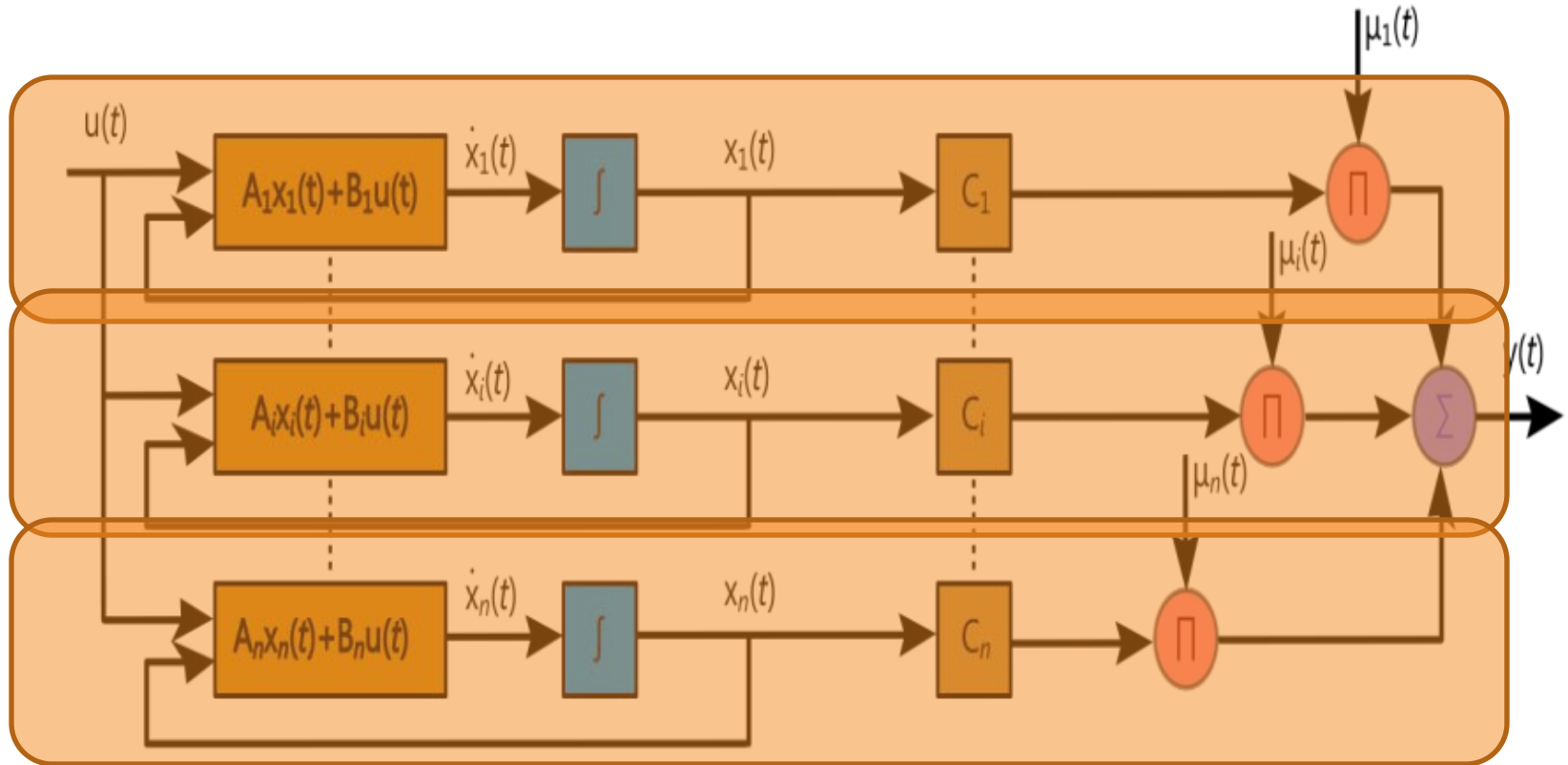
- La sortie globale du multimodèle est définie de la manière suivante :

$$y_m(t) = \sum_{i=1}^n \mu_i(\xi(t)) y_i(t)$$

- Le multimodèle (ou modèle global) est donné par :

$$\begin{cases} \dot{x}_i(t) = A_i x_i(t) + B_i u(t) \\ y_m(t) = \sum_{i=1}^M \mu_i(\xi(t)) (C_i x_i(t)) \end{cases}$$

Multimodèle découplé



Multimodèle à modèles locaux découplés

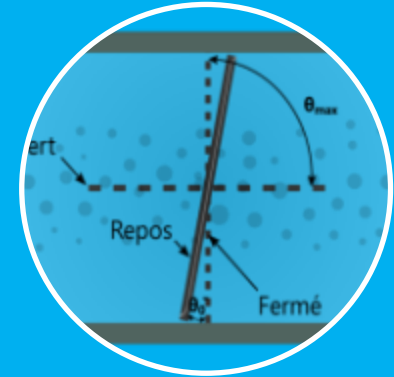
Application à un papillon motorisé



Moteur
essence

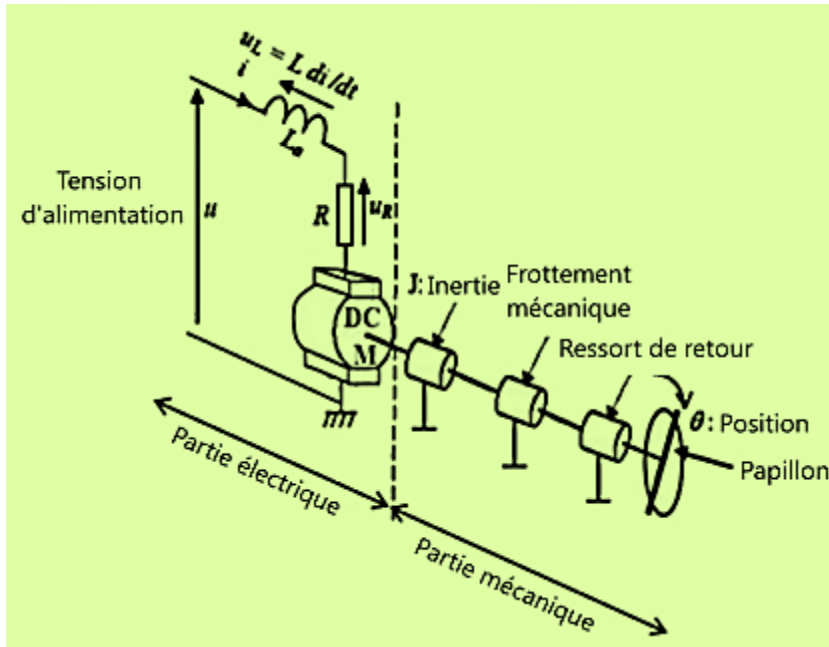


Papillon
motorisé



Positions

Modèle du papillon motorisé



Structure physique du papillon motorisé

$$\alpha = -\frac{D}{nJ} \text{ et } \mu = -\frac{f_c}{nJ}$$

n : rapport de vitesse entre le moteur et le papillon ;

k_r : raideur du ressort ;

J : inertie ;

f_v et f_c : coefficients de frottements constants ;

K : constante ;

D : constante ;

L : inductance de l'induit ;

R : résistance de l'induit ;

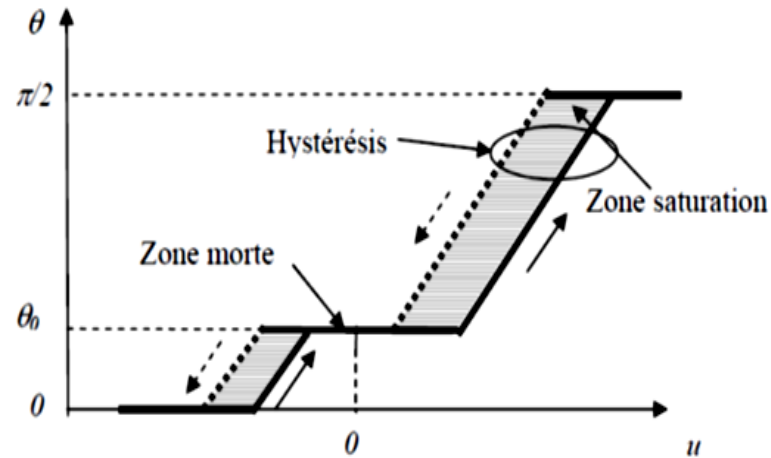
k : force électromotrice *f.é.m.*

Papillon motorisé :

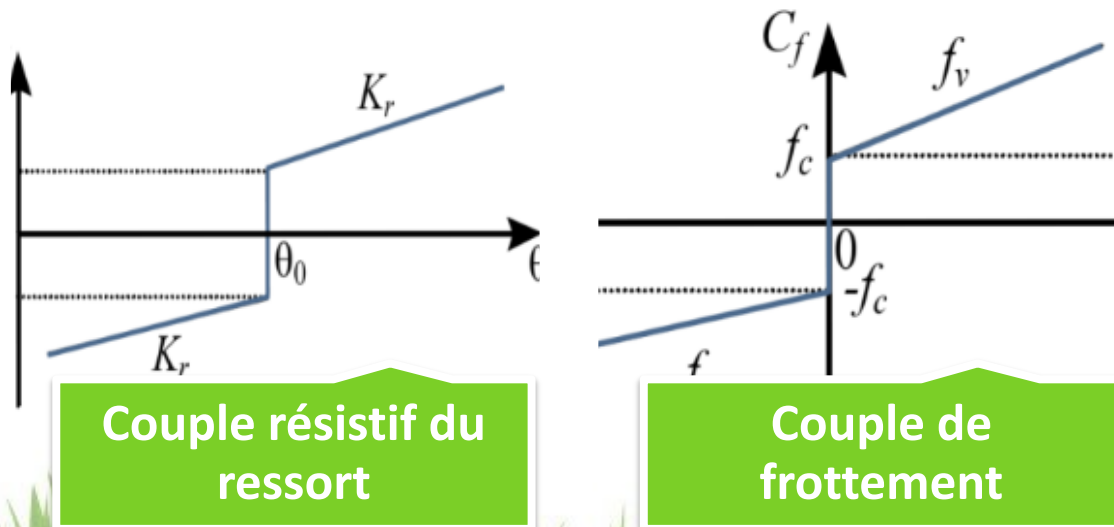
$$\begin{cases} \dot{\theta} = & nw \\ \dot{w} = & -\frac{k_r}{nJ}\theta - \frac{f_v}{J}w + \frac{K}{nJ}i + \alpha \cdot \text{sign}(\theta) + \mu \cdot \text{sign}(w) \\ i = & -\frac{k}{L}w - \frac{R}{L}i + \frac{1}{L}u \\ y = & \theta \end{cases}$$

Problème des non-linéarités

- Non-linéarités structurelles :

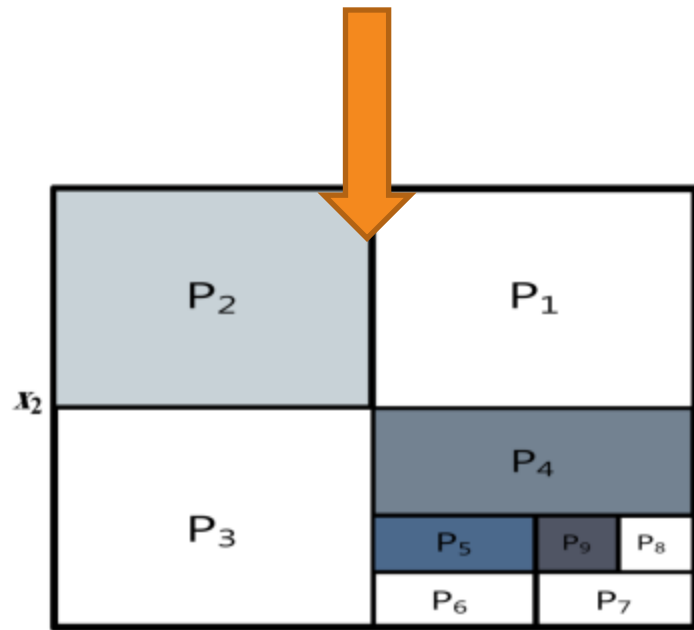
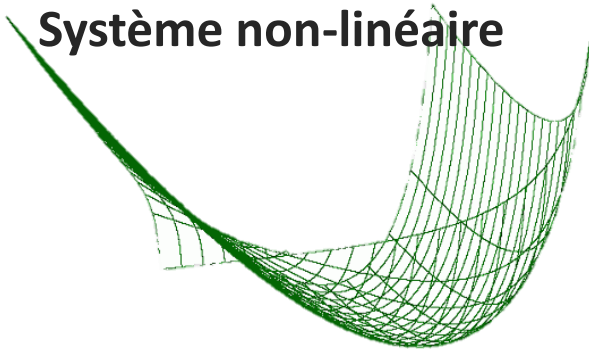


- Non-linéarités des paramètres :



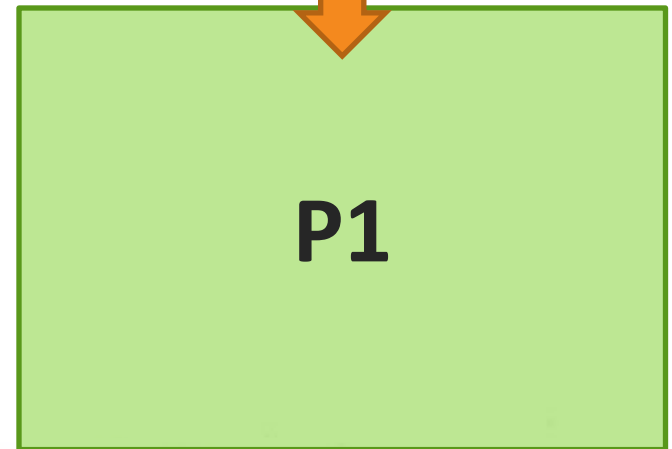
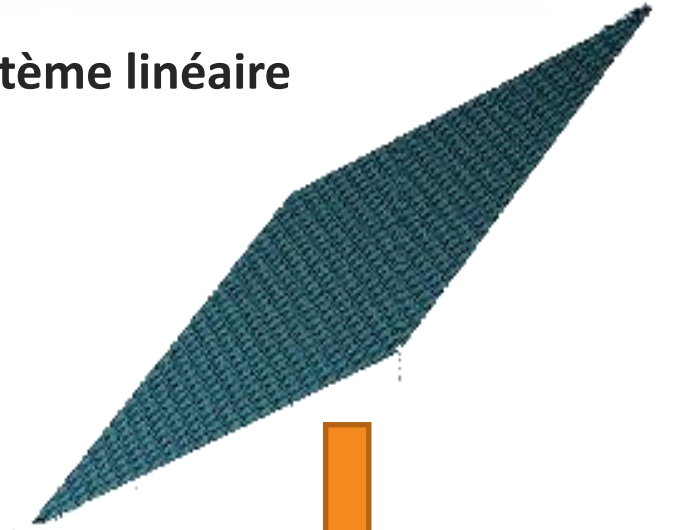
Intérêt des multimodèles incertains

Systeme non-linéaire



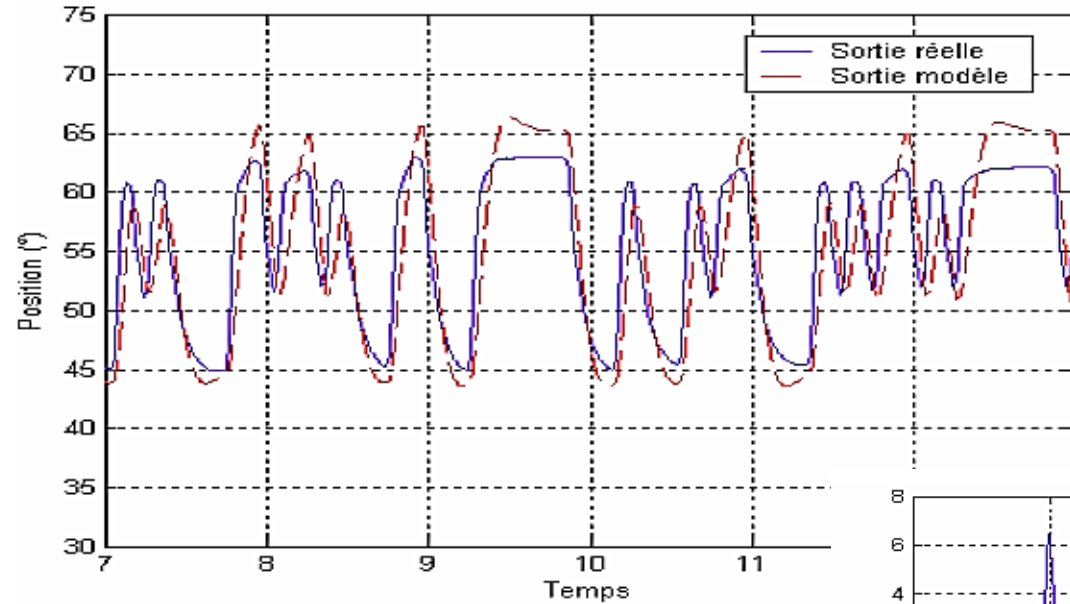
Sous-Pavage

Systeme linéaire

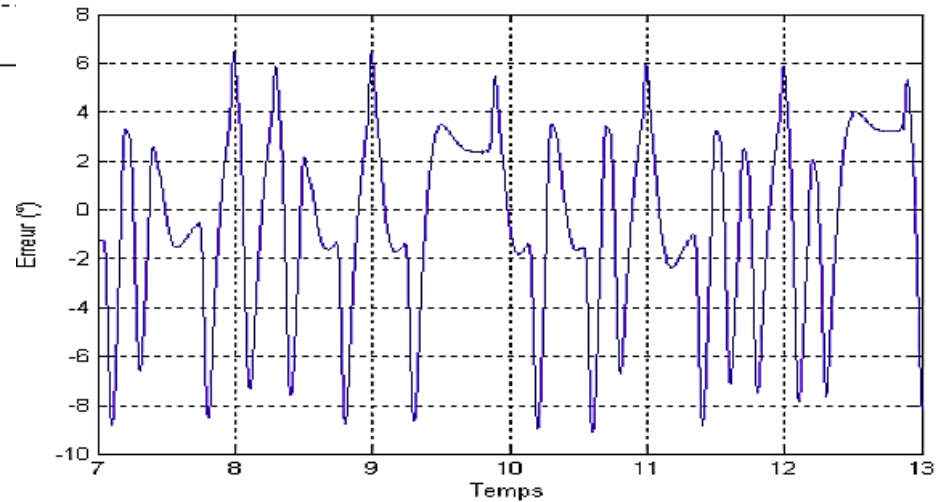


Pavé unique

Travaux précédents



Identification paramétrique [LEBBAL 2006]



Erreur entre la sortie réelle et celle du multimodèle [LEBBAL 2006]

Diagramme de phase de sortie

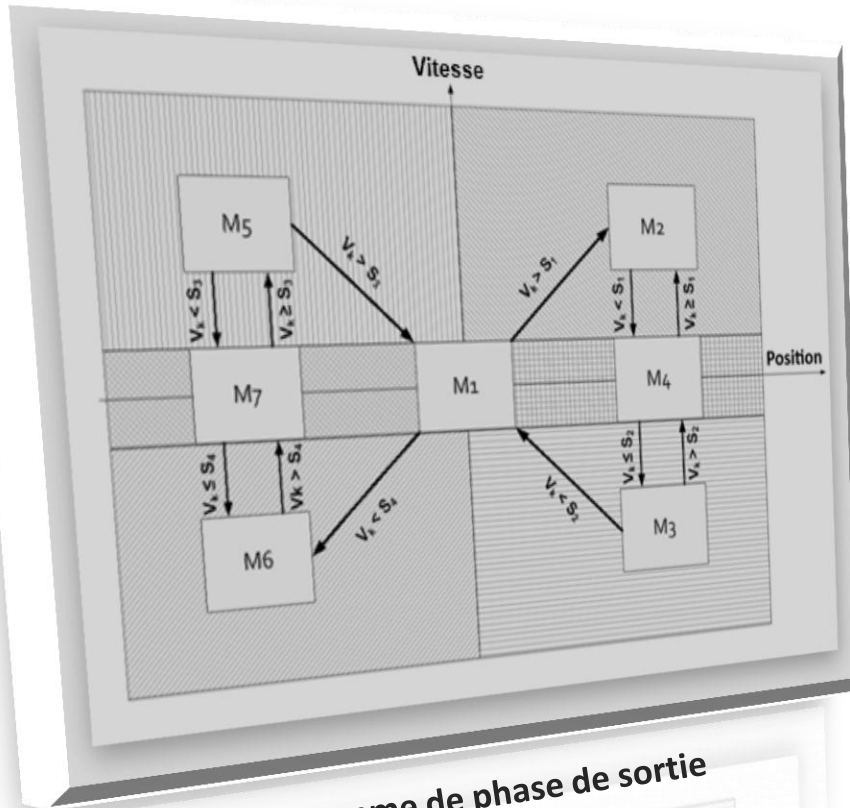
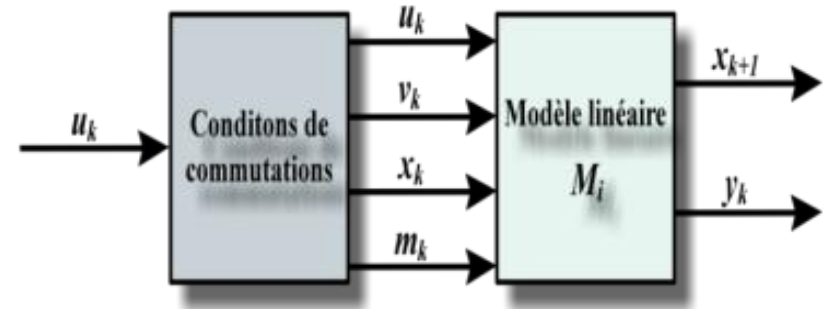


Diagramme de phase de sortie



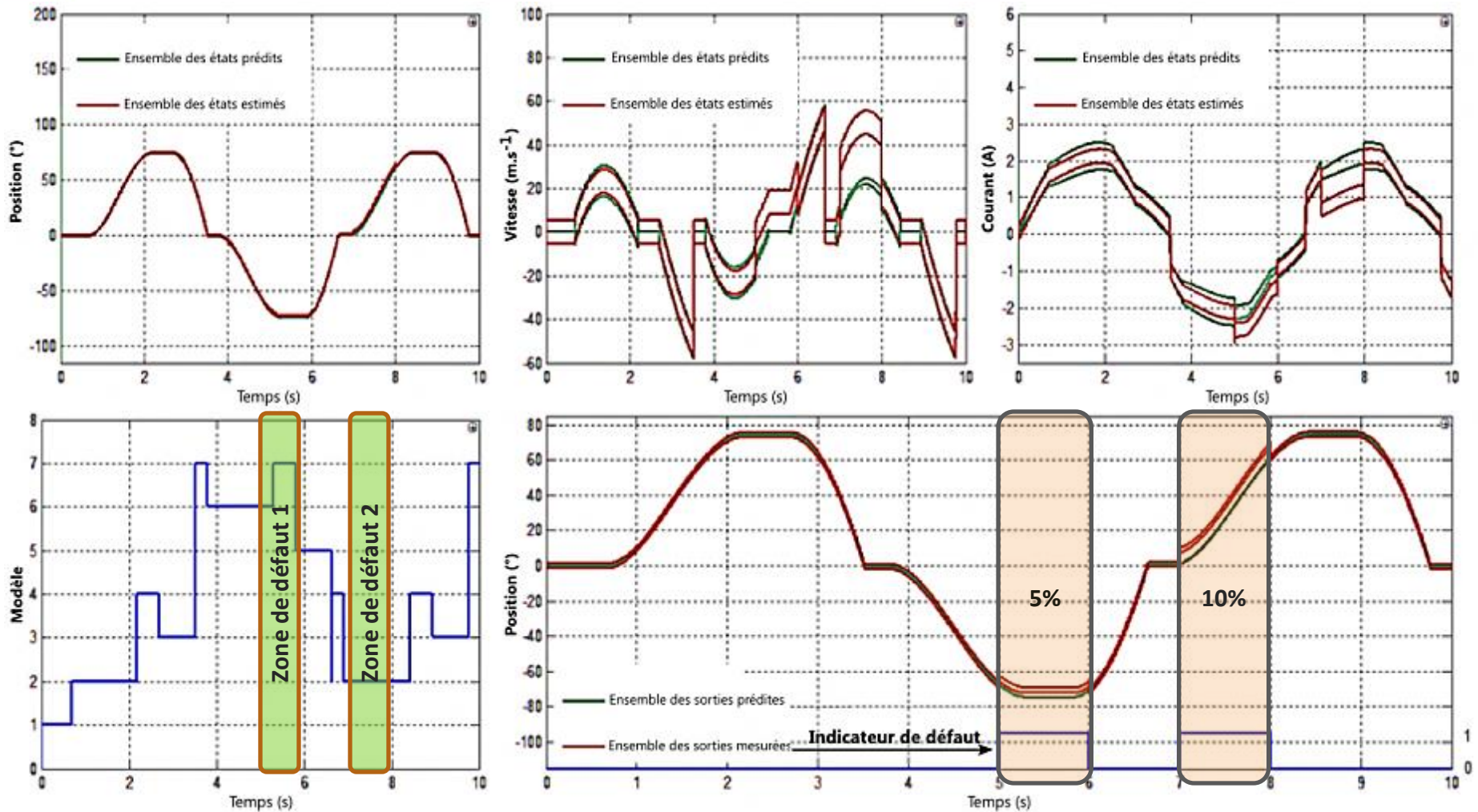
Conditions de commutations

$$S_1 = -\alpha - \mu; S_2 = -\alpha + \mu$$

$$S_3 = \alpha - \mu; S_4 = \alpha + \mu$$

$$v(k) = \frac{ad_{21}x_1(k) + ad_{22}x_2(k) + ad_{23}x_3(k) + bd_{21}u(k)}{-bd_{22}}$$

Résultats de simulation



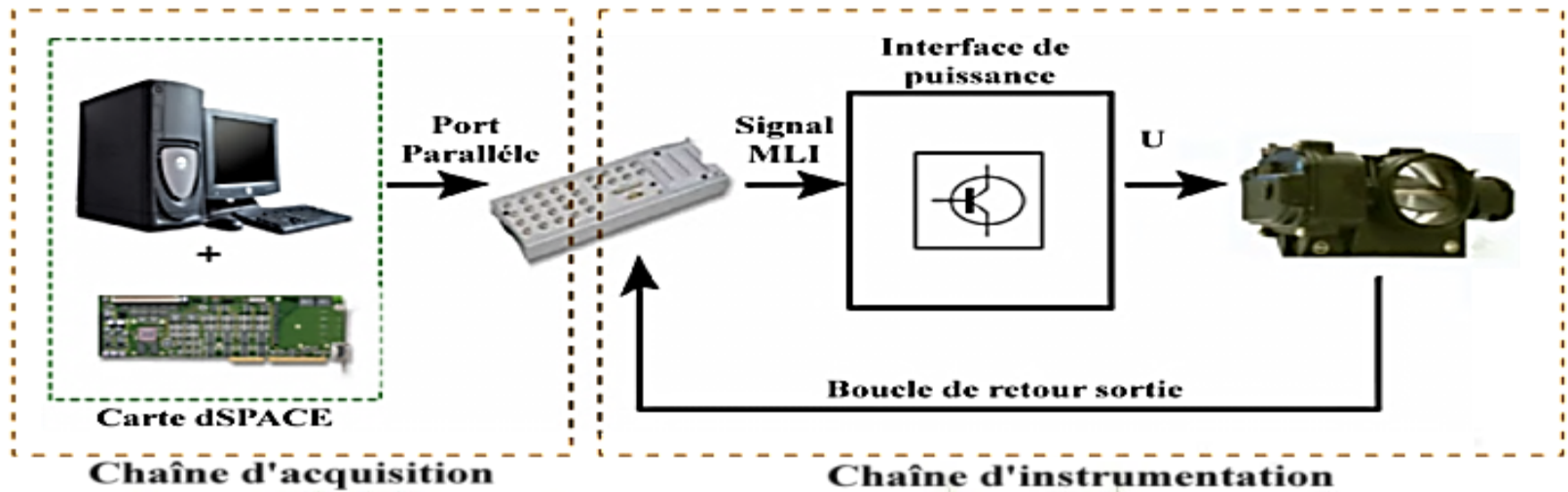
Estimation et détection de défaut du papillon motorisé



Simulation temps-réel

Comment les approches proposées se comportent en temps-réel ?

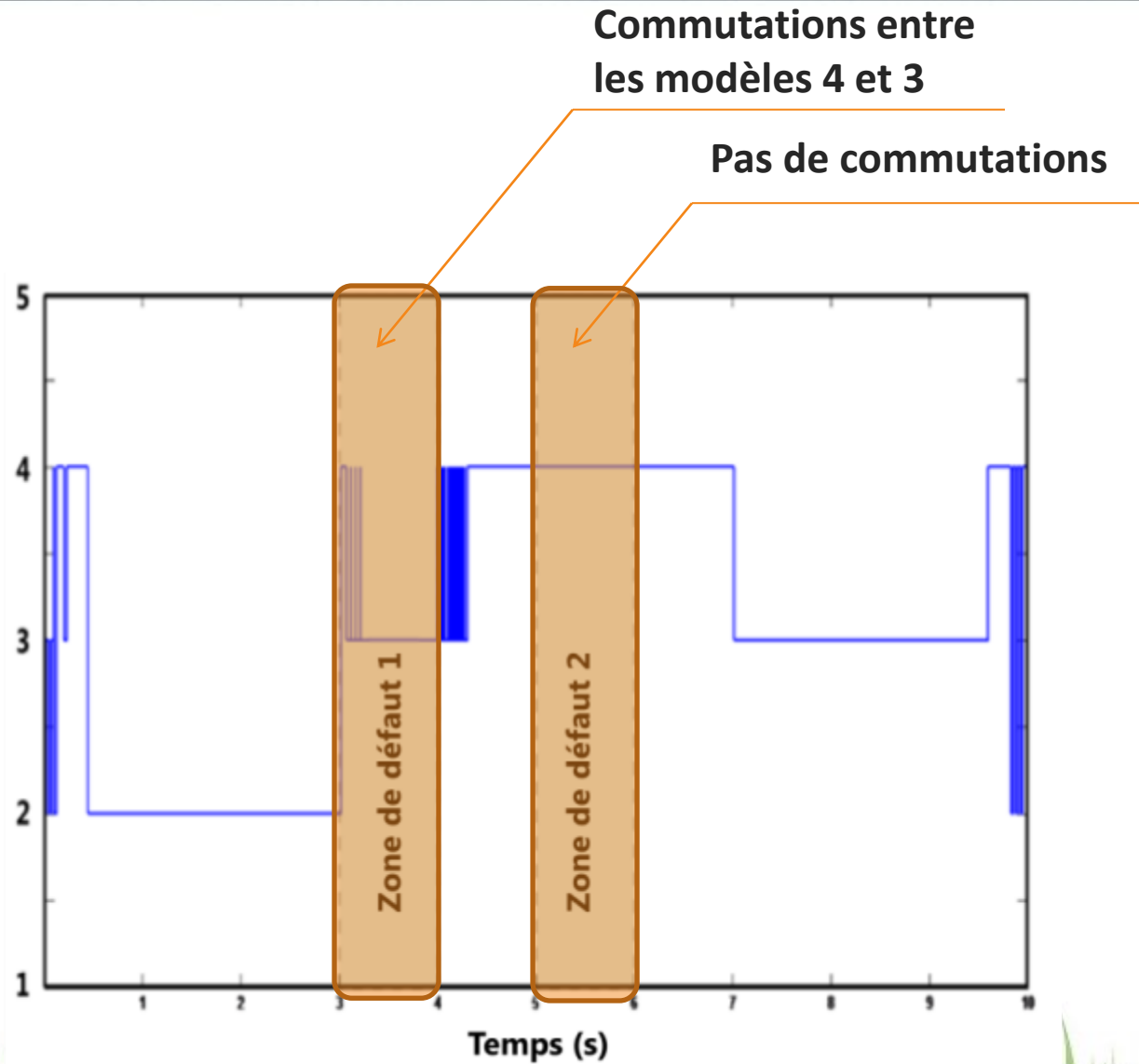
Le banc d'essais



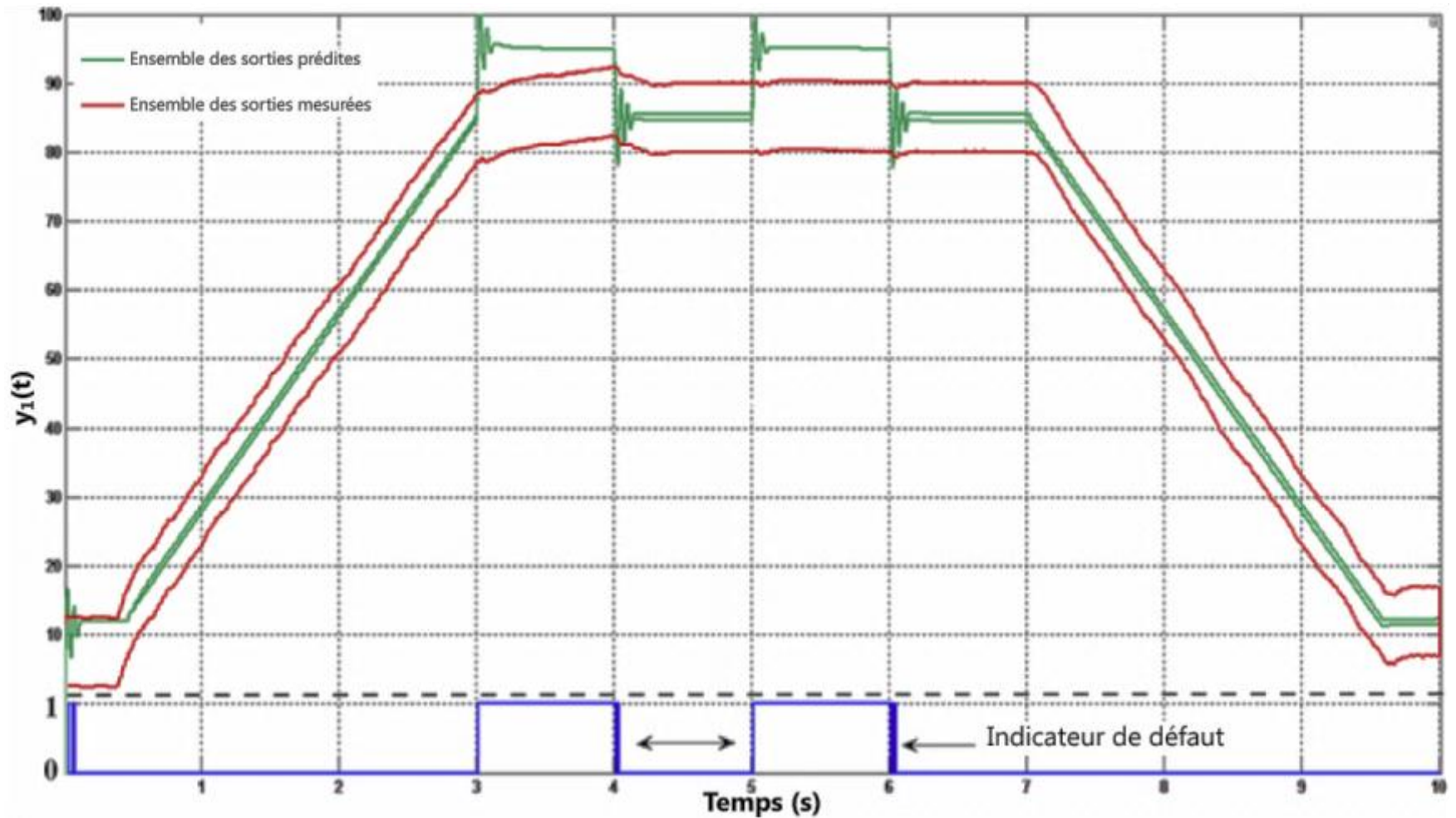
Scénarios de défauts

- **Défaut actionneur**
 - Défaut de type biais de +10% sur l'actionneur
- **Défaut système**
 - Le papillon se bloque pendant la séquence d'ouverture
- **Défaut capteur**
 - Défaut de type biais de +10% sur la sortie mesurée
- **Incertitudes**
 - $\pm 5\%$ sur tous les paramètres de la matrice A et B
 - $\pm 5\%$ sur la sortie mesurée

Zones de défauts

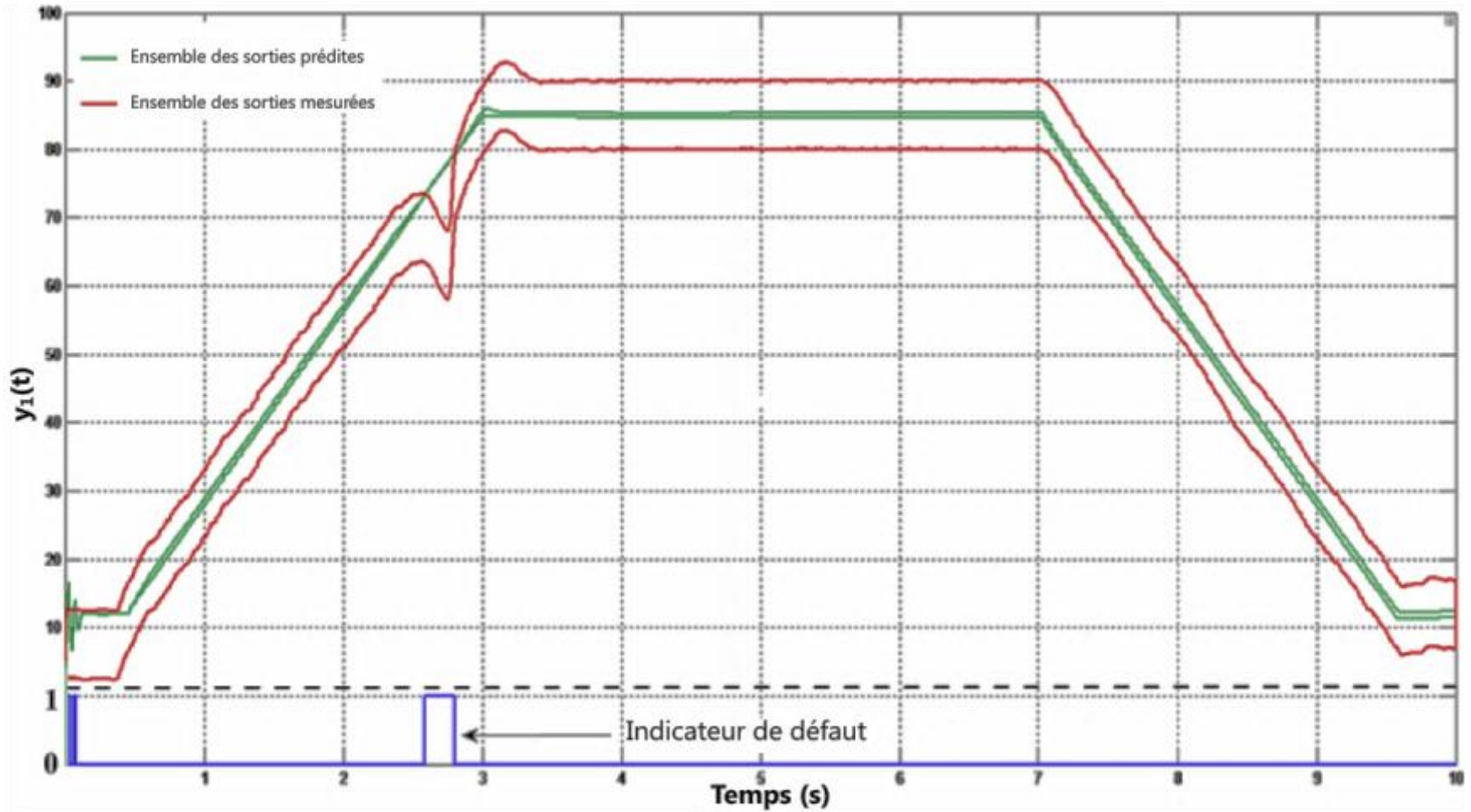


Résultats de simulation temps-réel



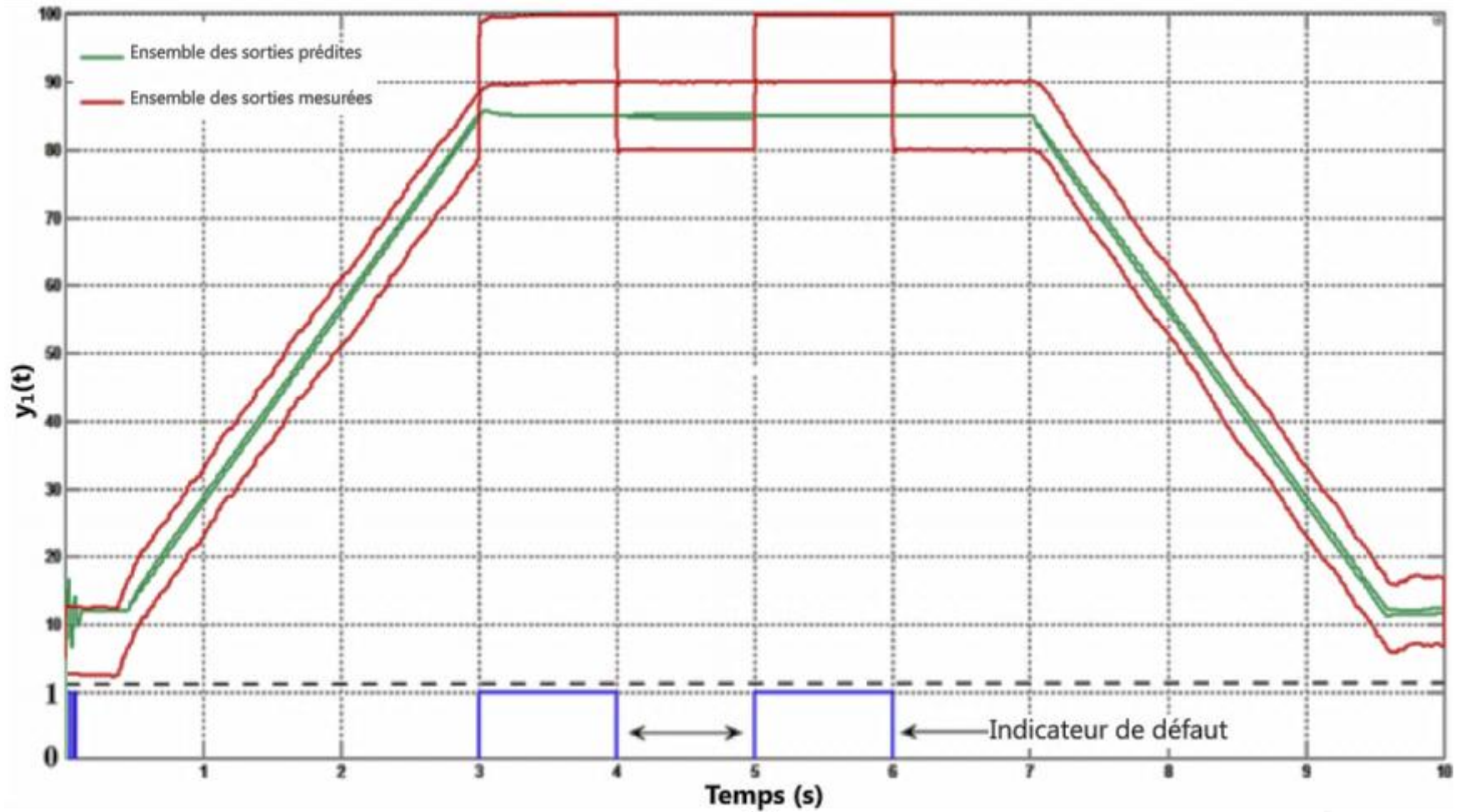
Détection de défauts d'actionneur en temps-réel

Résultats de simulation temps-réel



Détection de défauts de système en temps-réel

Résultats de simulation temps-réel



Détection de défauts de capteur en temps-réel



Conclusion & Perspectives

Quels est l'apport et le devenir de ces approches ?

Conclusion & Perspectives

Conclusion

- **Observateur de Luenberger Ensembliste**
 - Prend en compte les incertitudes du modèle et de mesure
 - Évite l'effet d'enveloppement
 - Permet de reconstruire les états en cas de capteurs manquants
- **Approche multimodèle des systèmes incertains**
 - Décompose un modèle non-linéaire en plusieurs modèles linéaires qui commutent
 - Évite l'utilisation de sous-pavage (nécessaire dans le cas non-linéaire)
 - Prend en compte la méconnaissance des valeurs exactes des paramètres sous forme de tolérances

Perspectives

- **Détection de défauts simultanés**
- **Isolation des défauts**
 - Banc d'Observateurs de Luenberger Ensembliste



THE END

Merci de votre attention